

## II-2 海氷の弾性諸定数について

北大工学部	正 佐伯 浩
○北見市役所	正 小野寺輝利
パシフィックコンサルタト	正 中沢 直樹
北大工学部	小野 敏行
北大工学部	正 尾崎 晃

1. 諸言 海氷に関する工学的な研究が始まったのは、ごく最近になってからである。海氷の影響を受ける海域は、全海洋面積の10%程度を占めている事を考えるとき憂鬱な感じを受けが、これは、寒冷地海洋における人間の活動が非常に不活発であった事によるものと考えられる。最近になって海氷に対する工学的研究が世界各国で非常に活発になってきた背景には次のような目的があるためと思われる。(1) 最近のエネルギー危機に対応して、寒冷地の海岸、海洋底にその存在が確認されている石油、ガスの探掘装置あるいは地下資源の探査装置の海氷に対する設計法を確立する事及び海氷に対して有効な経済的な構造物を開発するため、これが最近の海氷研究の目的として最も重要な問題である。これは現在、サハリン沿岸、北極海とよに渤海等での石油開発のため結論が急がれている。(2) 寒冷地の開発とともに生ずる航路維持のため、寒冷地圏の経済活動の国際化にともなう物貨輸送に対する航路維持のため砕氷船、砕氷貨物船、耐氷船の初歩的設計法を確立するため(3)海氷上で氷上踏走路、氷上軌道、氷上貯蔵基地等のように交通施設あるいは貯蔵施設に利用するため、(4)ある限りの海域の海氷の動きを、養殖漁業等の保護のため制御する必要があるため。特に北海道のオホーツク海沿岸ではこの問題が最近重要になってきている。

以上述べたように、海氷に関する工学的諸問題を解決するためには、海氷と水自体の力学特性を明確にする事が必要である。なぜなら、海岸、海洋構造物に作用する氷力にしても、海氷盤に交通施設に利用する場合でも、また砕氷船等の設計においても、それには、海氷の強度、弾性率、ポアソン比等が明らかにされなければならないからである。すでに、この種の研究は数多く発表されてはいるが、それとこれ別々に研究されてきて、同一の海氷を用いた研究は見当たらない。そこで本研究では、サロフ湖の海氷を用いて、特に海氷の一軸圧縮強度、静弾性率、せん断弾性係数、ポアソン比を実験的に調べる事により、オホーツク海の南部海域の海氷の力学特性を見出そうとしたものである。

2. 一軸圧縮強度特性 一般に材料の強度試験においては、供試体の形状、寸法、それと荷重速度(stress rate)、歪速度、それと載荷条件によって強度が異なった値を示す事はよく知られている。本研究においては、筆者等の過去の研究成果から、供試体の形状は円筒形とし、寸法は直径10cm、高さ20cmとした。これは、1975年のIAHRの氷問題委員会の標準試験方法にも一致準拠している事になる。また載荷板には、硬質ウレタン等を用いて、半径方向の力を除去する事も考えらるが、筆者等の過去の実験結果から、硬質ウレタンそのものが温度の影響を強く受ける事から、今回は磨き鋼板を用いた。荷重速度  $\dot{\epsilon}$  (stress rate)

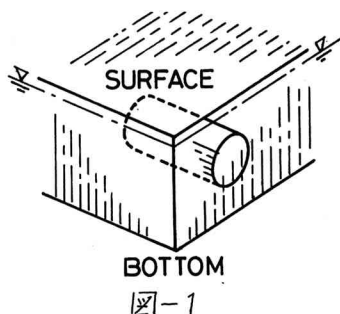


図-1

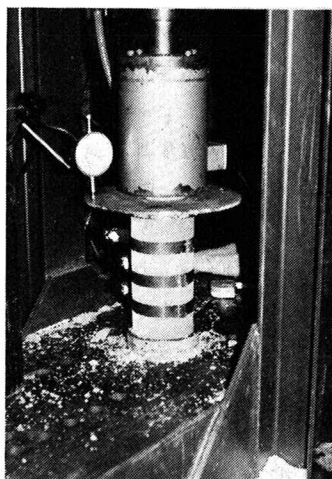
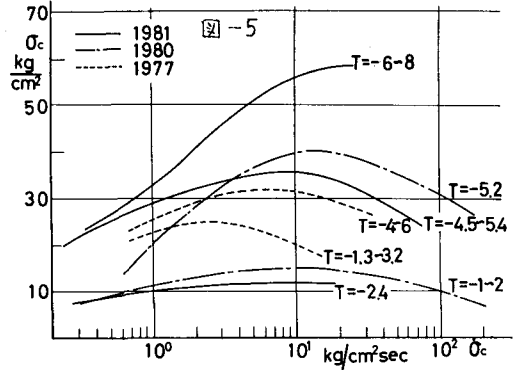
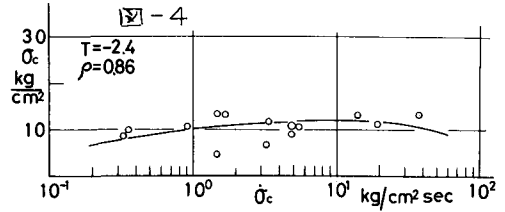
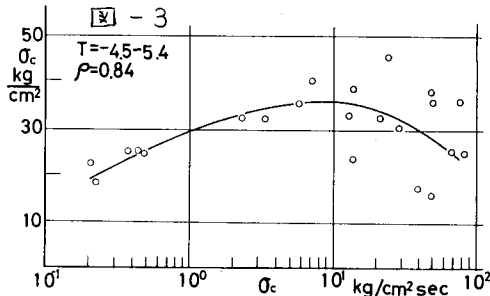
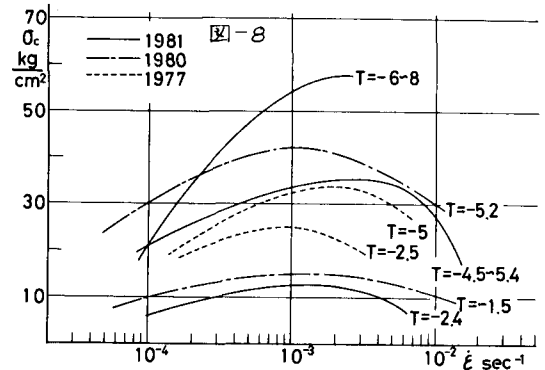
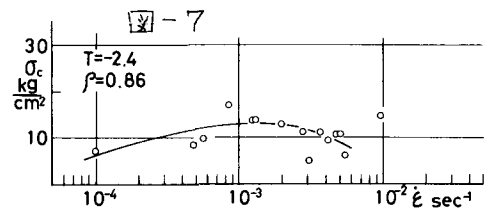
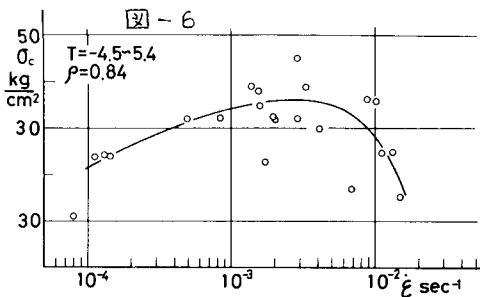


図-2



と一軸圧縮強度 $\sigma_c$ の関係の實驗結果を圖-3, 圖-4に示す。海氷強度に及ぼす影響因子としては、試験に用いる使試体、試験方法を同一とすると、海氷の温度、塩分量、空隙率等が考えらる。一般に空気を含まない海氷においては、強度とブライレの体積間に強い相関がある事が多くの研究者により発表されているが、オホーツク海のような、気泡を多く含む海氷においては、筆者等の研究成果から、海氷強度は、氷温 $T$ と海氷の密度 $\rho$ に強く依存する事が判っている。圖-3, 圖-4のデータにはかなりバラツキが見られるが、 $5.0 \text{ kg/cm}^2 \cdot \text{s} < \dot{\sigma}_c < 20 \text{ kg/cm}^2 \cdot \text{s}$ の間で強度が最大を示している。これらの結果と、過去の筆者等の結果をまとめたものが圖-5である。実験した年によって実験結果に多少の差が見られるが、これは、年によって海氷の密度 $\rho$ 及び塩分量等が多少違っているためである。筆者等が過去7年間、同時期にサロマ湖氷の強度測定を行ったところ、年によって海氷の密度、塩分量が違っている。これは結氷時期の差、および気温の変化、降雪の有無に大きく関係している。ともかく、この3年間の結果から、一軸圧縮強度は荷重速度 $\dot{\sigma}_c$ に依存して、 $5 \text{ kg/cm}^2 \cdot \text{s} < \dot{\sigma}_c < 20 \text{ kg/cm}^2 \cdot \text{s}$ で最大値を有する事が明らかとなった。これに対しPeytonは、アラスカの海氷を用いて同様の実験を行って、その結果によると $\dot{\sigma}_c$ が $2.0 \text{ kg/cm}^2 \cdot \text{s}$ で最大強度を示しているが、筆者等が淡水氷で行った実験においても $\dot{\sigma}_c$ が $2.0 \text{ kg/cm}^2 \cdot \text{s}$ で最大強度を示している事から、オホーツク海のような若干性質が異なっているものと思われ、その最も大きな理由は、オホーツク海のような海氷が北極海等の海氷に較べてPorosityが少ない事によるものと思われる。次に歪速度 $\dot{\epsilon}$ と一軸圧縮強度 $\sigma_c$ の関係を調べたものが、圖-6, 圖-7である。両温度の結果とも $\dot{\epsilon}$ が $10^3 / \text{s}$ の近傍で最大の圧縮強度を示している。過去の結果と比較したものが、圖-8である。測定した年によって結果は若干異なっているが、 $10^3 \text{ s}^{-1} < \dot{\epsilon} < 5 \times 10^3 \text{ s}^{-1}$ で一軸圧縮強度は最大値を示す。Schwarzは、ババルト



海氷の海水の実験結果から  $\dot{\epsilon} \approx 10^{-3} s^{-1}$  であり、最大の圧縮強度を示す事を報告しているし、海水氷で実験を行なった Korzhavin と Carter 等も同様に  $\dot{\epsilon} \approx 10^{-3} s^{-1}$  で最大強度を示す事を報告している。この歪速度  $\dot{\epsilon} = 10^{-3} s^{-1}$  は、海水の性質で遷移領域に近く、 $\dot{\epsilon} < 10^{-3} s^{-1}$  では海水は延性(クリープ)、 $\dot{\epsilon} > 10^{-3} s^{-1}$  では脆性を示すようである。次に、最大の圧縮強度を示す  $5 < \sigma_c < 20 \text{ kg/cm}^2 \cdot s$  の領域での圧縮強度  $\sigma_c$  と氷温の関係は調べたものが図-9にある。図からも明らかなように  $T > -8^\circ C$  の範囲では、氷温が低下するにつれて、一軸圧縮強度は直線的に増加する。事が明らかならなっている。これは、筆者等の1978年の結果とも一致している。また氷温が  $T < -8^\circ C$  になると、強度の増加率が小さくなっていく事が、筆者等の結果から明らかならなっているが、これは、 $T = -8.7^\circ C$  になると、ブライ：中の  $Na_2 \cdot SO_4 \cdot 10H_2O$  が析出してくる事に原因があると思われる。

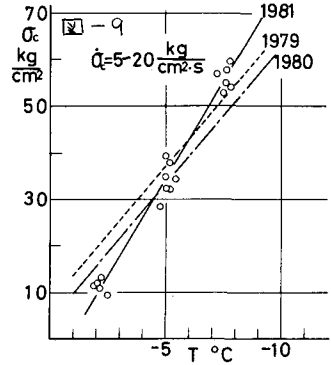


図-9

### 3. 海水のポアソン比

海水のポアソン比の測定例は非常に少ない。ポアソン比の測定法には振動法、地震法、直接測定法などがあるが、今まで行なわれた測定例はほとんど動的方法による。これはコンクリートのように直接ストレインゲージを張りつける事が難しく、横断面の歪の測定が極めて困難であるためである。筆者等も海水の歪測定に各種のストレインゲージを用いて測定したり、歪ゲージと海水との接着力を増すために、ゲージに砂粒や砂鉄を張り付けたりして実験してみたが結果はほとんど失敗であった。そこで筆者等は図-10に示すような測定器を新たに開発してポアソン比の測定を試みた。

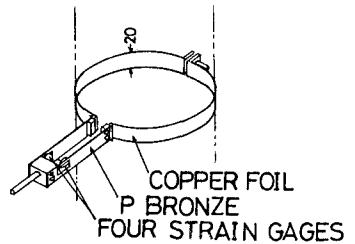
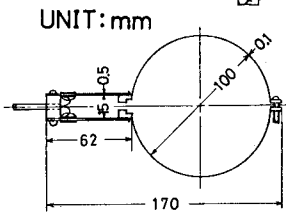


図-11

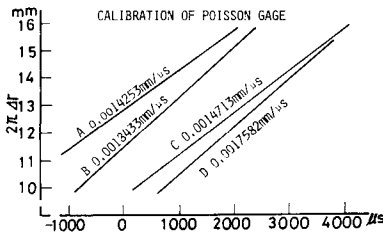
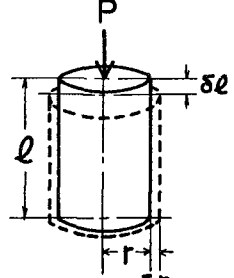


図-12

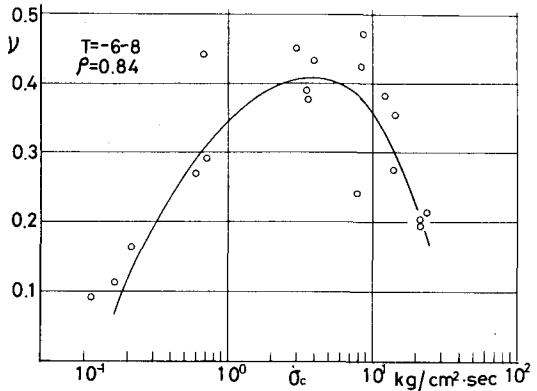
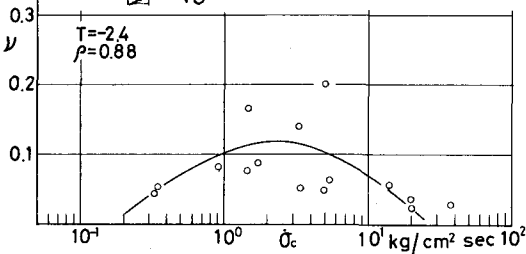


この測定器は薄鋼板に青銅の2本の板バネをつけ、板バネの根元部に4枚の歪ゲージを張りつけたもので、これを海水の内筒状試体にまきつけ、それをボムで締付けた。実験では高さ20cmの内筒状試体の上、中、下の3ヶ所に取り付けた。本装置のキャリブレーションの結果を図-11に示す。図からも明らかならなように、試体の円周の変形量と歪ゲージの歪の間に直線的な関係が得られた。

図-14

実験の写真を図-2に示す。本実験においては、このポアソン比の測定装置は試体の上から5cm, 10cm, 15cmの位置に取り付けた。実験結果を図-13, 図-14に示す。

図-13



両国から明ら

かるように、 $\nu$  実験データは、 $\nu$  なるパラッキが、 $\nu$  異なるより、 $\nu$  重速度  $\dot{\epsilon}$  は  $\nu$   $\sim 5 \text{ kg/cm}^2 \cdot \text{s}$  当りに最大のポアソン比  $\nu$  を示す領域が見られる。この

図-15

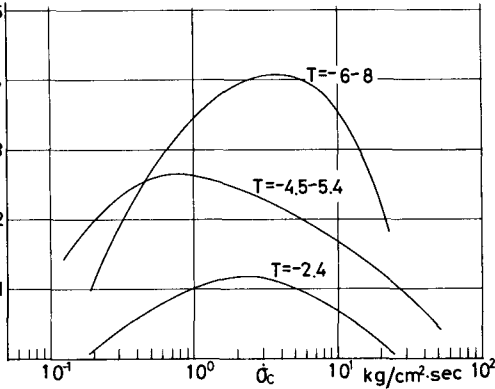
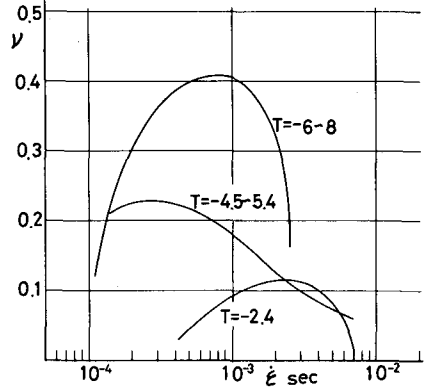
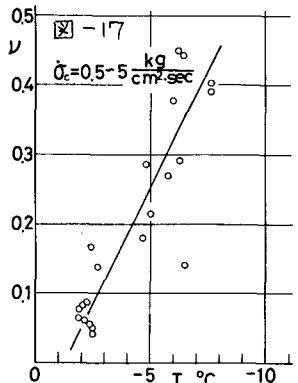


図-16



結果をまとめたものが図-15である。この結果、氷温によって、ポアソン比の最大値を示す荷重速度は違ってくるが、氷温が  $T > -8^\circ\text{C}$  の範囲では  $0.6 \text{ kg/cm}^2 \cdot \text{s} < \dot{\epsilon} < 6 \text{ kg/cm}^2 \cdot \text{s}$  の範囲でピークを現す事が明らかとなった。またポアソン比は、氷温  $T$  が低くなるほど値が低くなる傾向が示された。また氷温が低い状態の影響は強く受ける事も明らかとなった。また、このポアソン比  $\nu$  と  $\dot{\epsilon}$  の関係は、一軸圧縮強度  $\sigma_c$  と  $\dot{\epsilon}$  の関係とも非常によく一致して、また  $\sigma_c$  のピークの発生位置はポアソン比のピークの発生位置ともよく一致している。この事、 $\sigma_c$  が最大を示すような  $\dot{\epsilon}$  の時は、実験前の供試体よりも径が太くなっている事を示している。また、ポアソン比  $\nu$  が最大を示す、 $\dot{\epsilon} = 0.5 \sim 5 \text{ kg/cm}^2 \cdot \text{s}$  の領域でのポアソン比  $\nu$  と氷温  $T$  の関係を示したものが図-17である。このポアソン比も、 $T > -8^\circ\text{C}$  の範囲では、氷温の低下とともに近似的に増加するが、ポアソン比の性質上 0.5 を超える事は無いと思われ、温度が  $-8^\circ\text{C}$  より下っても、 $\nu$  はほとんど変化しないものと考えられる。図-16には、歪速度  $\dot{\epsilon}$  とポアソン比  $\nu$  の関係を示す。これも、一軸圧縮強度とほとんど同じ変化を示し、 $\dot{\epsilon} \sim 10^3 \text{ s}^{-1}$  で最大のポアソン比を示している。尚、本実験で求めたポアソン比以下の計算に示した  $\nu$  を求める。図-12に示すように円筒状試体の半径  $r$ 、高さ  $l$  とするとき、左を  $\epsilon_1$  とし、半径方向の歪みは次の (1)、(2) 式で計算される。



$$\epsilon_1 = \delta l / l \quad \text{----- (1)}, \quad \epsilon_2 = 2\pi r \delta r / 2\pi r = \delta r / r \quad \text{----- (2)}$$

ここで、左方向の変位量を  $\delta l$ 、円周方向の変位量を  $2\pi r \delta r$  とし、それぞれ、図-2 に示すポアソン比測定装置とダイヤルゲージを用いて測定される。円周方向の変位量は 3ヶ所にて測定されるので、(3) 式のように平均して、(4) 式によりポアソン比  $\nu$  を計算する。

$$\bar{\epsilon}_2 = \frac{1}{3} (\epsilon_2 + \epsilon_2 + \epsilon_2) \quad \text{--- (3)}, \quad \nu = \bar{\epsilon}_2 / \epsilon_1 \quad \text{----- (4)}$$

海水のポアソン比については、Oliver 等は  $\nu = 0.32 \sim 0.37$  の値を得ていて、Peschansky は  $\nu = 0.29$  の値を得ている。また石田はオホーシク海の海水に於て  $\nu = 0.38$  の値を得ている。しかし、これらの値は全く信頼性から得た値である。一般にコンクリート等のような氷以外の材料については、ポアソン比は静的な直接測定法による場合の方が小さい値を示す事が知られている。本実験結果についてもピーク時を除けば、ほぼそのような性質を示していると思える。また、今回用いた海水においては、このポアソン比の測定に際して、左方向に一定速度で変位させながら、その時の荷重を直線的に増加するのに対して、半径方向の変化は、破壊荷重の半分くらいまで、つまり破壊時の変化量の半分の上方向変位量まではほとんど変化せず、それを超えてから急激に変化する事が明らかとなった。これは初期においては、海水内の気泡がつかないようにする事によるものと思われるが、計算された気泡量の半分くらいになつてきた、半径方向に変形する事が判った。

図-18

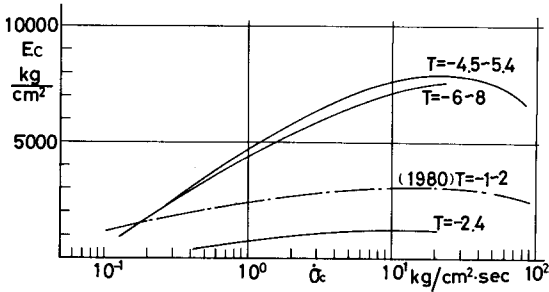


図-19

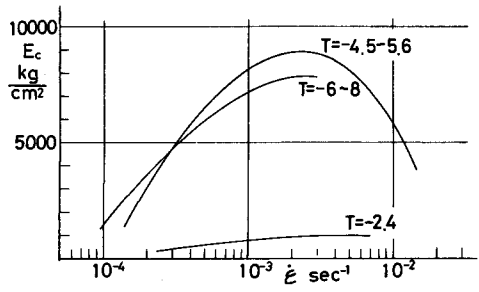


図-20

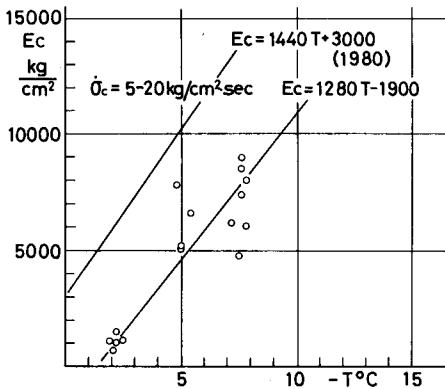
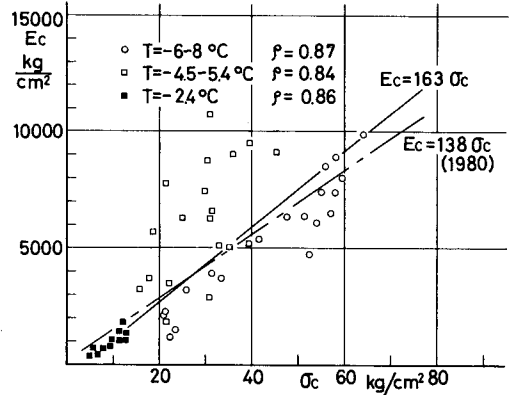


図-21



#### 4. 海氷の弾性係数

海氷の物性値のうち、弾性係数(ヤング率)は最も重要なものの一つである。この弾性係数本文の測定には、振動法による動的測定法と単純打撃片持梁に荷重をかけて、その荷重と撓み量から求める方法、さらに一軸圧縮強度試験における荷重強度と歪の関係から求める方法がある。本研究では、ポアソン比を考慮した一軸圧縮強度試験から求めているので、ここでは圧縮弾性係数  $E_c$  について述べることにする。今回の一軸圧縮強度試験において、応力と歪の関係は、ほぼ直線に近似できる。弾性係数の求め方にも、種々報告されているが、本研究では、応力と歪の両軸が載荷時から破壊時まで直線で表わされるデータのみを選んで、 $E_c = \sigma_c / \epsilon_c$  で計算した。 $\sigma_c$  は一軸圧縮強度で、 $\epsilon_c$  は供試体破壊時の最大歪である。供試体の形状、寸法は前の  $\sigma_c$  の測定と同じ供試体である。実験データは相当バラツキが大きいが、 $E_c$  と荷重速度  $\dot{\sigma}_c$  の関係を示したものが図-18である。 $E_c$  は荷重速度  $\dot{\sigma}_c$  によって変化し、特に氷温が低い程大きく変わっている。また、 $E_c$  の最大値は  $10 \text{ kg/cm}^2 \cdot \text{s} < \dot{\sigma}_c < 30 \text{ kg/cm}^2 \cdot \text{s}$  の範囲に存在している。また、 $E_c$  の  $\dot{\sigma}_c$  に対する変化は、氷温が低い程大きい。図-19には  $E_c$  と歪速度  $\dot{\epsilon}_c$  の関係を示したものである。この関係も、 $\dot{\sigma}_c$  の場合と同様に  $E_c$  は  $\dot{\epsilon}_c$  に依存し、 $10^{-3} \text{ s}^{-1} < \dot{\epsilon}_c < 10^{-2} \text{ s}^{-1}$  の領域に最大値が存在している。次に  $\dot{\sigma}_c = 5 \sim 20 \text{ kg/cm}^2 \cdot \text{s}$  の範囲で、 $E_c$  と氷温の関係を示したものが図-20である。氷温が  $T > -8^\circ\text{C}$  の範囲では、 $E_c$  と  $T$  の間には直線関係がある事が判る。今回のデータは1980年の時の値に較べてかなり小さい。これは、海氷の密度が異なる事による。また、 $E_c$  と海氷の一軸圧縮強度の関係を示したものが図-21である。今回の実験範囲  $T > -8^\circ\text{C}$

表-1

No	T (°C)	v	E(kg/cm <sup>2</sup> )	$\sigma_c$ (kg/cm <sup>2</sup> )	G(kg/cm <sup>2</sup> )
1	-5.8	0.119	3714	10.07	3319
2	-6.5	0.184	5493	27.19	2320
3	-6.0	0.123	7966	31.33	3547
4	-7.6	0.425	8548	55.45	3000
5	-7.6	0.471	8979	57.79	3052
6	-7.6	0.277	7381	59.52	2958
7	-7.2	0.195	6462	57.64	2704
8	-17.0	0.080	6338	37.97	2934
9	-17.8	0.024	4431	34.31	2164
10	-15.2	0.025	7005	34.38	3417

$\dot{\sigma}_c = 10 \sim 20 \text{ kg/cm}^2 \cdot \text{s}$

の範囲では $\sigma_c$ と氷温 $T$ の間には直線関係があるので、当然  $E_c$ と $\sigma_c$ の間にも直線関係がある。データはバラバラが多いが、今年のデータからは次の(5)式の関係が得られた。

$$E_c = 163 \sigma_c \text{ -----(5)}$$

(5)式より、破壊時の $\sigma_c$ は約0.006/となり、今回の供試体(直径10cm, 高さ20cm)の場合、破壊時には、約1.22mm縮んでいる事になる。筆者等は、弾性係数 $E_c$ 及びポアソン比 $\nu$ を求めたので、次は(6)式を用いてセリ断弾性係数 $G$ を求めた結果が表-1である。従ってデータは、荷重速度が $\dot{\sigma}_c = 10 \sim 20 \text{ Kg/cm}^2 \cdot \text{s}$

$$G = E_c / 2(1 + \nu) \text{ -----(6)}$$

のデータである。表-1より、セリ断弾性係数 $G$ は平均して約  $3000 \text{ Kg/cm}^2$  であった。

以上、海氷の一軸圧縮強度、ポアソン比、圧縮弾性係数は、全荷重速度 $\dot{\sigma}_c$ 及び歪速度 $\dot{\epsilon}$ に依存し、氷温が低い程依存度が高い事が明らかとなった。また、一軸圧縮強度、ポアソン比、圧縮弾性係数の $\sigma_c$ に対するPeak値は氷温 $T > -8^\circ\text{C}$ の範囲で氷温と直線関係にある事が明らかになった。

### [参考文献]

- (1) Saeki, H., T. Nomura, A. Ozaki; Experimental Study on the Testing Methods of Strength and Mechanical Properties for Sea Ice, Proc. IAHR Symposium on Ice Problems, pp 135~150, 1978
- (2) IAHR Committee on Ice Problems; Report of Task-Committee on Standardizing Methods for Ice, Proc. IAHR Symposium on Ice Problems. 607~618, 1975
- (3) Peyton, H.R.; Sea Ice Strength, UAGR-182, Geophysical Institute, University of Alaska, 1966.
- (4) Schwarz, J.; The Pressure of Floating Ice Fields on Piles, IAHR Symposium on Ice Problems, 1970
- (5) Saeki, H., A. Ozaki, K. Kubo; Experimental study on Flexural Strength and Elastic Modulus of Sea Ice, Proc. 6th International Conference on Port and Ocean Engineering under Arctic Conditions, 1981
- (6) Schwarz, J., W.F. Weeks; Engineering Properties of Sea Ice, Jour. of Glaciology Vol. 19, No. 81, 499~530, 1977
- (7) 石田 寛; 海氷中の弾性波の測定, 低温科学, Ser. A. 17, 99~107, 1959
- (8) Oliver, J., A.P. Cray, R. Cotell; Elastic Waves in Arctic Pack Ice, Trans. American Geophysical Union, Vol. 35, 282, 1954